

ЛИТЕРАТУРА

1. Гершунин Г. З., Жуховицкий Е. М. Конвективная устойчивость несжимаемой жидкости. М.: Наука, 1972.
2. Никулин Д. А., Потехин Г. С., Стрелец М. Х. Приближенная система уравнений для описания нестационарной концентрационной естественной конвекции в бинарных газовых смесях. — Изв. АН СССР. МЖГ, 1980, № 5.
3. Никулин Д. А., Стрелец М. Х. Математическая модель и результаты расчетов нестационарного тепломассообмена при естественной конвекции бинарных смесей с произвольным отношением плотностей. — В кн.: Тепломассообмен-VI. Т. 1, ч. 3. Минск, 1980.
4. Роуч П. Вычислительная гидродинамика. М.: Мир, 1980.
5. Ramshaw J. D., Trapp J. A. A numerical technique for low-speed homogeneous two-phase flow with sharp interfaces. — J. Comput. Phys., 1976, vol. 21, N 4.
6. Махвиладзе Г. М., Щербак С. Б. Численный расчет газодинамических процессов, сопровождающих горение конденсированных веществ. — ФГВ, 1980, т. 16, № 4.
7. Яненко Н. Н. Метод дробных шагов решения задач математической физики. Новосибирск: Наука, 1976.
8. Никулин Д. А., Стрелец М. Х. О возможности автоколебательных решений нестационарных задач смешанной конвекции в газовых смесях. — ДАН СССР, 1981, т. 260, № 3.

УДК 532.529

ЧИСЛЕННОЕ ИССЛЕДОВАНИЕ ГАЗОВОЙ СТРУИ С ТЯЖЕЛЫМИ ЧАСТИЦАМИ НА ОСНОВЕ ДВУХПАРАМЕТРИЧЕСКОЙ МОДЕЛИ ТУРБУЛЕНТНОСТИ

Л. Б. Гавин, В. А. Наумов, В. В. Шор

(Калининград)

Теоретические [1—4] и экспериментальные [5, 6] исследования, проведенные в последнее время, показывают, что дисперсные частицы оказывают существенное влияние на газодинамические параметры и турбулентную структуру двухфазных струй. При теоретическом исследовании течений такого рода возникают две основные задачи: формулировка исходной системы уравнений и представление неизвестных корреляционных моментов. Решение первой получено в [7] путем пространственного осреднения микроуравнений, описывающих процессы внутри составляющих фаз; вторая до настоящего времени решалась в рамках теории пути смешения [1—3]. При этом в [2] вместо формулы Прандтля применяется уравнение переноса турбулентной вязкости «чистого» газа.

Для исследования турбулентных течений в однофазных средах в настоящее время широко используются двухпараметрические модели, содержащие уравнения переноса энергии турбулентных пульсаций и скорости ее диссиpации [8, 9]. Такие модели позволяют не только рассчитывать осредненные параметры и характеристики турбулентности с учетом предыстории потока, но и более обоснованно учесть влияние внешних воздействий. В [4] впервые использовано уравнение переноса пульсационной энергии для расчета струи с малой концентрацией капель в предположении отсутствия осредненного скольжения фаз. При этом влияние капель на пульсационную энергию учтено приближенно, введением эмпирических поправок к традиционным членам, описывающим генерацию и диссиpацию турбулентной энергии; масштаб турбулентности считается пропорциональным ширине струи.

В данной работе для численного исследования турбулентной газовой струи с твердыми частицами в условиях существенной неравновесности по скоростям составляющих фаз предложена модель $e - \epsilon$; получены выражения для неизвестных корреляционных моментов, обусловленных присутствием дисперсной фазы.

1. Постановка задачи. Система уравнений для осредненных величин, описывающая истечение осесимметричной двухфазной турбулентной струи, имеет вид

$$(1.1) \quad \frac{\partial u_g}{\partial y} + \frac{1}{y} \frac{\partial}{\partial y} (y v_g) = 0;$$

$$(1.2) \quad \frac{\partial}{\partial x} (\rho_p u_p) + \frac{1}{y} \frac{\partial}{\partial y} (y (\rho_p v_p + \langle \rho'_p v'_p \rangle)) = 0;$$

$$(1.3) \quad \rho_g \left(u_g \frac{\partial u_g}{\partial x} + v_g \frac{\partial u_g}{\partial y} \right) + \frac{1}{y} \frac{\partial}{\partial y} (y \rho_g \langle u'_g v'_g \rangle) = -F_x;$$

$$(1.4) \quad \rho_p u_p \frac{\partial u_p}{\partial x} + (\rho_p v_p + \langle \rho'_p v'_p \rangle) \frac{\partial u_p}{\partial y} + \frac{1}{y} \frac{\partial}{\partial y} (y \rho_p \langle u'_p v'_p \rangle) = F_x;$$

$$(1.5) \quad u_g \frac{\partial e}{\partial x} + v_g \frac{\partial e}{\partial y} = \frac{1}{y} \frac{\partial}{\partial y} \left(y \frac{v_t}{k_2} \frac{\partial e}{\partial y} \right) + v_t \left(\frac{\partial u_g}{\partial y} \right)^2 - \varepsilon - \varepsilon_p;$$

$$(1.6) \quad u_g \frac{\partial e}{\partial x} + v_g \frac{\partial e}{\partial y} = \frac{1}{y} \frac{\partial}{\partial y} \left(y \frac{v_t}{k_3} \frac{\partial e}{\partial y} \right) + k_4 \frac{\varepsilon}{e} v_t \left(\frac{\partial u_g}{\partial y} \right)^2 - k_5 \frac{\varepsilon^2}{e} - \Phi_p,$$

где x, y — продольная и поперечная координаты; u, v — проекции осредненной составляющей скорости на оси x, y соответственно; ρ — распределенная плотность; индексы g и p относятся к параметрам несущей и дисперсной фазы соответственно; e, ε — энергия турбулентных пульсаций и скорость ее диссиляции:

$$e = \frac{1}{2} \sum_i \langle u_{gi}'^2 \rangle, \quad \varepsilon = v \sum_{i,j} \left\langle \left(\frac{\partial u_{gi}'}{\partial x_j} \right)^2 \right\rangle;$$

v, v_t — молекулярная и турбулентная кинематическая вязкость; u_{gi} — проекция пульсационной составляющей скорости газа на i -ю ось; F_x — проекция силы межфазного взаимодействия на ось x ; как и в [2], принимаем $v_g = v_p = v$.

Для конкретизации системы уравнений уточним представление силы межфазного взаимодействия. В [10] показано, что при малых объемных долях дисперсной фазы силой Архимеда и силой, обусловленной эффектом присоединенных масс, можно пренебречь. Как показывает анализ, проведенный согласно [11, 12] для рассматриваемых размеров частиц, в отсутствие начального вращения вклад силы Магнуса незначителен. Тогда сила межфазного взаимодействия определяется скоростной неравновесностью между фазами и имеет вид

$$(1.7) \quad F^* = \frac{3}{4} c_f (\mathbf{V}_g^* - \mathbf{V}_p^*) |\mathbf{V}_g^* - \mathbf{V}_p^*| \rho_g^0 \rho_p / (\rho_p^0 \delta),$$

где δ — диаметр частицы; $\rho_p^0 = \rho_p / \alpha_p$ — истинная плотность; α_p — объемная доля дисперсной фазы; индекс * относится к актуальным значениям величин. Коэффициент сопротивления сферической частицы, как и в [2], определяется по стандартной кривой зависимостью

$$c_f = 24 (1 + 0,179 \sqrt{Re^*} + 0,013 Re^*) / Re^*, \quad Re^* = |\mathbf{V}_g^* - \mathbf{V}_p^*| \delta / v.$$

Заменим в (1.7) актуальные значения скоростей и распределенной плотности суммой осредненных и пульсационных составляющих $\mathbf{V}^* = \mathbf{V} + \mathbf{V}'$, $\rho_p^* = \rho_p + \rho_p'$. Проведя операцию осреднения, получим для проекций пульсационной и осредненной составляющих силы межфазного взаимодействия

$$(1.8) \quad F'_i = \gamma_i ((u'_{gi} - u'_{pi}) \rho_p + \frac{\gamma_y}{\gamma_i} (u_{gi} - u_{pi}) \rho'_p + (u'_{gi} - u'_{pi}) \rho'_p - \langle (u'_{gi} - u'_{pi}) \rho'_p \rangle),$$

$$F_i = \gamma_y (u_{gi} - u_{pi}) \rho_p + \gamma_i \langle (u'_{gi} - u'_{pi}) \rho'_p \rangle,$$

$$\gamma_x = \beta (1 + 0,269 \sqrt{Re} + 0,026 Re), \quad \beta = 18 \rho_g^0 v / (\delta^2 \rho_p^0),$$

$$\gamma_y = \beta (1 + 0,179 \sqrt{Re} + 0,013 Re), \quad Re = |u_g - u_p| \delta / v.$$

Уравнения (1.5), (1.6) получены из уравнения движения несущей среды, в правой части которого содержится сила межфазного взаимодействия. При этом добавочные члены, обусловленные влиянием частиц, имеют вид

$$(1.9) \quad \varepsilon_p = \frac{1}{\rho_g} \sum_i \langle F'_i u_{gi} \rangle, \quad \Phi_p = \frac{v}{\rho_g} \sum_{i,j} \left\langle \frac{\partial F'_i}{\partial x_j} \frac{\partial u_{gi}}{\partial x_j} \right\rangle.$$

Границные условия

$$(1.10) \quad y = 0: \partial u_g / \partial y = \partial u_p / \partial y = \partial \rho_p / \partial y = \partial e / \partial y = \partial \varepsilon / \partial y = v = 0;$$

$$(1.11) \quad y = \infty: u_g = u_p = u_s, \rho_p = \rho_{ps}, e = e_s, \varepsilon = \varepsilon_s;$$

$$(1.12) \quad x = 0: u_g = u_{g0}(y), u_p = u_{p0}(y), v = v_0(y), \rho_p = \rho_{p0}(y), \\ e = e_0(y), \varepsilon = \varepsilon_0(y).$$

Система уравнений (1.1)–(1.6) должна быть замкнута.

2. Замыкание системы уравнений. Для газа будем использовать обычное представление [9]

$$\langle u'_g v'_g \rangle = -v_t \frac{\partial u_g}{\partial y}, \quad v_t = k_1 \frac{e^2}{\varepsilon}.$$

Подставляя значение пульсации силы, определяемое по формуле (1.8), в (1.9), получим выражение для ε_p :

$$(2.1) \quad \varepsilon_p = \frac{1}{\rho_g} \sum_i \gamma_i (\langle (u'_{gi} - u'_{pi}) u'_{gi} \rangle \rho_p + \frac{\gamma_y}{\gamma_i} (u_{gi} - u_{pi}) \langle u'_{gi} \rho_p \rangle + \\ + \langle (u'_{gi} - u'_{pi}) u'_{gi} \rho_p \rangle).$$

Опустим в (2.1) тройную корреляцию, второе слагаемое можно также опустить, так как $u_{gi} = u_{pi}$ при $i = y, z$, а при $i = x$ мал корреляционный момент $\langle u'_{gi} \rho_p \rangle$, связанный с продольным переносом массы дисперсной фазы вследствие пульсаций скорости газа. В результате получим

$$\varepsilon_p = \sum_i \gamma_i (\langle u'^2_{gi} \rangle - \langle u'_{pi} u'_{gi} \rangle) \rho_p / \rho_\xi.$$

Для представления корреляционного момента $\langle u'_{pi} u'_{gi} \rangle$ запишем в интегральной форме уравнение движения одиночной частицы [13]:

$$(2.2) \quad u'_{pi}(t) = u'_{pi}(0) \exp(-\gamma_i t) + \gamma_i \int_0^t \exp(-\gamma_i(t-\tau)) u'_{gi}(r_p(\tau), \tau) d\tau,$$

где $u'_{gi}(r_p(\tau), \tau)$ — эйлерова скорость несущей среды вдоль траектории частицы; $r_p(\tau)$ — смещение частицы. Умножим обе части (2.2) на $u'_{gi}(t)$ и, проведя осреднение по ансамблю частиц и по времени, получим

$$(2.3) \quad \langle u'_{pi}(t) u'_{gi}(t) \rangle = \langle u'_{pi}(0) u'_{gi}(t) \rangle \exp(-\gamma_i t) + \\ + \gamma_i \int_0^t \exp(-\gamma_i s) \langle u'_{gi}(\tau) u'_{gi}(\tau+s) \rangle ds.$$

Коэффициент эйлеровой пространственно-временной корреляции скоростей газа вдоль траектории частицы, как и в [13], будем аппроксимировать экспоненциальной зависимостью

$$(2.4) \quad R_{ij}(s) = \frac{\langle u'_{gi}(t) u'_{gj}(t+s) \rangle}{\langle u'_{gi}(t) u'_{gj}(t) \rangle} = \exp(-\varphi_{ij}|s|).$$

В [13] получено для продольной и поперечной корреляций:

$$\varphi_{xx} = (c_\beta \langle u'^2_g \rangle^{1/2} + |u_g - u_p|) / \Lambda, \\ \varphi_{yy} = \frac{(c_\beta \langle u'^2_g \rangle^{1/2} + |u_g - u_p|)^2}{(c_\beta \langle u'^2_g \rangle^{1/2} + 0,5 |u_g - u_p|) \Lambda}, \quad c_\beta \simeq 1.$$

Эйлеров интегральный пространственный масштаб турбулентности находится по формуле $\Lambda = k_6 e^{3/2} / \varepsilon$. Интегрирование (2.3) с учетом (2.4) для достаточно больших t с использованием гипотезы локальной однородности

и изотропности дает

$$\langle u'_p u'_{gi} \rangle = \frac{\gamma_i}{\gamma_i + \varphi_{ii}} \langle u'^2_{gi} \rangle, \quad \varepsilon_p = \frac{2}{3} \varepsilon \frac{\rho_p}{\rho_g} \sum_i \frac{\gamma_i \varphi_{ii}}{\gamma_i + \varphi_{ii}}.$$

В качестве первого шага положим $\Phi_p \simeq 2\gamma_x \varepsilon \rho_p / \rho_g$.

Для получения корреляционного момента $\langle u'_p v'_p \rangle$ перемножим выражения (2.2) при $i = x$ и $i = y$, тогда после осреднения аналогично [14] получим

$$(2.5) \quad \langle u'_p v'_p \rangle = \gamma_x \gamma_y \int_0^\infty \int_{-\infty}^\infty \exp(-(y_x + y_y)s - \gamma_x \tau) \langle u'_g(t) v'_g(t+s) \rangle ds d\tau.$$

Интегрирование (2.5) с учетом (2.4) дает

$$\langle u'_p v'_p \rangle = \frac{\gamma_x \gamma_y}{\gamma_x + \gamma_y} \left(\frac{1}{\varphi_{xy} + \gamma_x} + \frac{1}{\varphi_{xy} + \gamma_y} \right) \langle u'_g v'_g \rangle.$$

В первом приближении положим $\varphi_{xy} = k_7 \varphi_{xx}$.

Корреляционный момент, представляющий собой турбулентный перенос массы дисперсной фазы, может быть представлен в виде

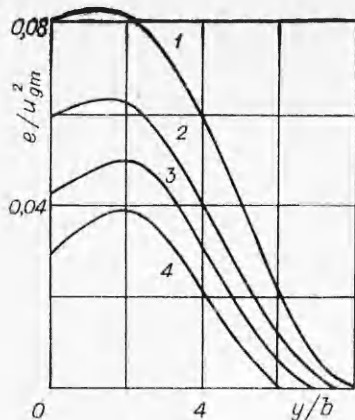
$$\langle \rho'_p v'_p \rangle = - D_p \frac{\partial \rho_p}{\partial y}.$$

Коэффициент поперечной диффузии частиц, как и в [13], определим по их среднеквадратичному смещению

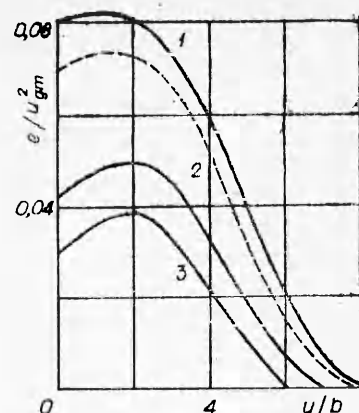
$$D_p = -\frac{1}{2} \lim_{t \rightarrow \infty} \frac{d}{dt} \langle y_p^2(t) \rangle = \frac{\langle v_g'^2 \rangle}{\varphi_{yy}}.$$

3. Анализ результатов численного исследования. Замкнутая таким образом система уравнений (1.1)–(1.6) с граничными условиями (1.10)–(1.12) решалась конечно-разностным методом с использованием неявной шеститочечной схемы второго порядка точности [15]. Условия истечения при проведении расчетов принимались, как и в [6]: $\rho_p^0 = 8500 \text{ кг/м}^3$, радиус сопла $b = 0,015 \text{ м}$, $u_{gz} = u_{pz} = 35 \text{ м/с}$, индекс z относится к параметрам на срезе сопла на оси струи. Затопленная струя рассматривалась как частный случай спутной струи при коэффициенте спутности, стремящемся к нулю. Коэффициент спутности при расчетах не превышал 1 %. Значения эмпирических констант, которые остаются в уравнениях (1.3), (1.5), (1.6) при устремлении концентрации дисперсной фазы к нулю, принимались такими же, как и в однофазных струях [9]. Остальные константы получены из условия наилучшего совпадения результатов расчетов двухфазных струй с экспериментальными данными: $k_6 = 1$, $k_7 = 2$.

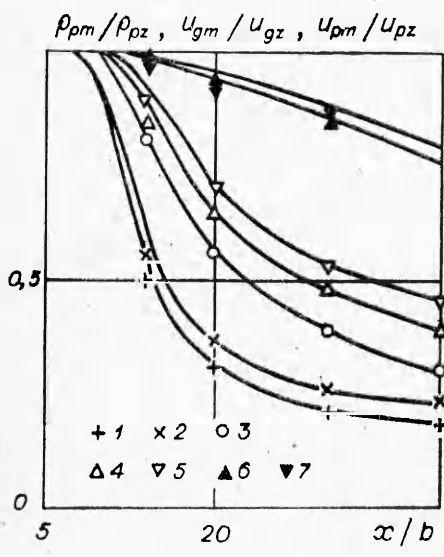
На фиг. 1 приведены профили интенсивности турбулентных пульсаций в сечении $x/b = 40$ при $\delta = 45 \cdot 10^{-6} \text{ м}$ для различных начальных удельных расходов частиц ($\kappa = \rho_p u_p / \rho_g u_g$): $\kappa_z = 0; 0,25; 0,5; 1$ — кривые 1–4 соответственно. Увеличение κ_z приводит к возрастанию ε_p , Φ_p и производства турбулентной энергии. В результате, как показывают численные исследования, уровень e несколько снижается. Одновременно значение скорости газа на оси струи значительно возрастает, поэтому величина e/u_{gm}^2 заметно уменьшается, что отмечено и в [1], индекс m относится к параметрам на оси струи. На фиг. 2 показано изменение e/u_{gm}^2 при $\kappa_z = 1$, $x/b = 40$ и различных размерах частиц (10^{-6} м): 1 — однофазная струя; 2 — $\delta = 67$; 3 — $\delta = 45$; штриховой линией показан результат расчета при $\delta = 67$ в отсутствие членов ε_p , Φ_p в соответствующих уравнениях. Уменьшение размера частиц вызывает увеличение ε_p , Φ_p из-за возрастания β и $v_t (\partial u_g / \partial y)^2$ из-за роста u_{gm} . Видно, что в результате интенсивность турбулентных пульсаций существенно уменьшается; добавочные члены ε_p , Φ_p оказывают существенное влияние на результаты расчета.



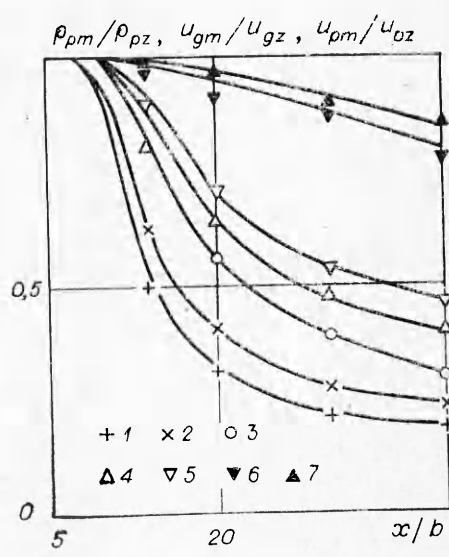
Фиг. 1



Фиг. 2



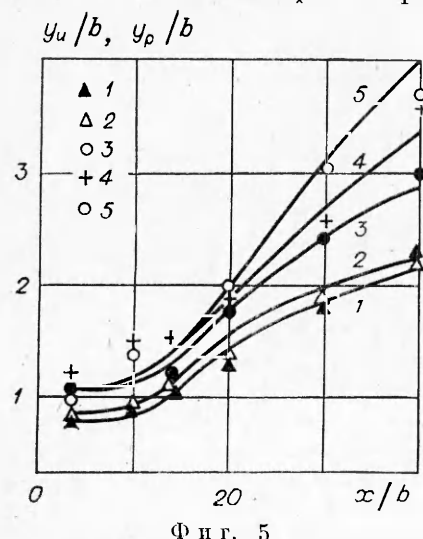
Фиг. 3



Фиг. 4

На фиг. 3—5 приведено сравнение результатов численных расчетов полей газодинамических величин (сплошные линии) с экспериментальными данными [6]. На фиг. 3 представлены профили распределенной плотности дисперсной фазы и продольной скорости обеих фаз вдоль оси струи при $\delta = 45 \cdot 10^{-6}$ м и различных удельных расходах частиц: ρ_{pm}/ρ_{pz} (1 — $\kappa_z = 1$; 2 — $\kappa_z = 0,5$); u_{gm}/u_{gz} (3 — однофазная струя; 4 — $\kappa_z = 0,5$; 5 — $\kappa_z = 1$); u_{pm}/u_{pz} (6 — $\kappa_z = 0,5$; 7 — $\kappa_z = 1$). Видно, что увеличение κ_z вызывает уменьшение спада скоростей газа вдоль оси струи, что объясняется не только увеличением суммарной поверхности частиц и усилением межфазного взаимодействия, но и отмеченным ранее возрастанием ϵ_p . При этом увеличивается коэффициент поперечной диффузии частиц и уменьшается ρ_{pm}/ρ_{pz} .

На фиг. 4 распределения тех же величин, что и на фиг. 3, при $\kappa_z = 1$



Фиг. 5

и различных размерах частиц (10^{-6} м): ρ_{pm}/ρ_{pz} ($1 - \delta = 45$; $2 - \delta = 67$); u_{gm}/u_{gz} (3 — однофазная струя; $4 - \delta = 67$; $5 - \delta = 45$); u_{pm}/u_{pz} ($6 - \delta = 45$; $7 - \delta = 67$). Увеличение размера частиц усиливает неравнобедность течения по скоростям из-за уменьшения межфазной поверхности. Это вызывает уменьшение D_p и увеличение ρ_{pm}/ρ_{pz} . На фиг. 5 показано изменение ординат y_p , y_u , в которых концентрация дисперсной фазы и скорость газа соответственно достигают половины осевых значений при $\delta = 45 \cdot 10^{-6}$ м и различных κ_z : y_p ($1 - \kappa_z = 1$; $2 - \kappa_z = 0,5$); y_u ($3 - \kappa_z = 1$; $4 - \kappa_z = 0,5$; $5 - \kappa_z = 0$). При увеличении загрузки струя становится уже и дальнобойнее, что согласуется с выводами [1].

Заметим, что в рассматриваемых экспериментах [6] частицы в результате взаимодействия со стенками, видимо, приобретали значительную начальную поперечную скорость и соотношение $v_g = v_p$ не выполнялось. По всей вероятности, в данной работе завышена турбулентная диффузия массы дисперсной фазы поперек струи; необходимо дальнейшее уточнение значения эмпирической константы k_6 , от которой зависит величина $\langle \rho_p v_p' \rangle$.

Хорошее согласие результатов расчетов с экспериментальными данными позволяет использовать предложенную модель для численного исследования двухфазных турбулентных струй.

Поступила 3 III 1982

ЛИТЕРАТУРА

1. Абрамович Г. И., Гиршович Т. А. Турбулентные струи, несущие твердые или капельно-жидкие примеси. — В кн.: Парожидкостные потоки. Минск: ИТМО АН БССР, 1977.
2. Картушинский А., Фришман Ф. Численный расчет двухфазной турбулентной за-топленной струи. — Изв. АН ЭССР. Физика. Математика, 1980, т. 29, № 4.
3. Зуев Ю. В., Лепешинский И. А. Математическая модель двухфазной турбулентной струи. — Изв. АН СССР. МЖГ, 1981, № 6.
4. Danon H., Wollstein M., Hetsroni G. Numerical calculations of two-phase turbulent round jet. — Int. J. Multiphase Flow, 1977, vol. 3, N 3.
5. Hetsroni G., Sokolov M. Distribution of mass, velocity, and intensity of turbulence in a two-phase turbulent jet. — J. Appl. Mech., 1971, vol. 93.
6. Гиршович Т. А., Картушинский А. И. и др. Экспериментальное исследование турбулентной струи, несущей тяжелые примеси. — Изв. АН СССР. МЖГ, 1981, № 5.
7. Нигматулин Р. И. Основы механики гетерогенных сред. М.: Наука, 1978.
8. Коловандин Б. А. Моделирование теплопереноса при неоднородной турбулентности. Минск: Наука и техника, 1980.
9. Турбулентность. Принципы и применения/Под ред. У. Фроста, Т. Моулдена. М.: Мир, 1980.
10. Ивандаев А. И., Кутушев А. Г., Нигматулин Р. И. Газовая динамика многофазных сред. Ударные и детонационные волны в газовзвесях. — В кн.: Итоги науки и техники. Механика жидкости и газа. Т. 16. М.: ВИНИТИ, 1981.
11. Соу С. Гидродинамика многофазных систем. М.: Мир, 1971.
12. Буерайд Р. Течение газа со взвешенными частицами. М.: Мир, 1975.
13. Шрайбер А. А., Милотин В. И., Яценко В. П. Гидромеханика двухкомпонентных потоков с твердым полидисперсным веществом. Киев: Наукова думка, 1980.
14. Pismen L. M., Nir A. On the motion of suspended particles in stationary homogeneous turbulence. — J. Fluid Mech., 1978, vol. 84, pt 1.
15. Дорфман А. Л., Маев В. А. Численное моделирование струйных течений вязкой жидкости. — ИФЖ, 1976, т. 31, № 4.

УДК 539.217.082.3

ИССЛЕДОВАНИЕ ГАЗОДИНАМИЧЕСКОЙ ПРОНИЦАЕМОСТИ СЕТЧАТОГО ФИЛЬТРА НА Не, Ar, Xe

B. Д. Акиньшин, B. T. Породнов, B. D. Селезнев, B. B. Сургучев

(Свердловск)

Целый ряд проблем в науке, технике и технологиях удается разрешить с помощью мелкопористых мембран. В последнее время все более широкое применение находят мембранные, называемые сетчатыми фильтрами. Они получаются путем бомбардировки тонких полимерных пленок ионами высоких энергий [1]. Отличительные особенности таких мембран: высокая плотность и неперекрываемость пор, почти цилиндрическая